

福建武平朱砂根种质资源表型性状遗传多样性分析

罗小婷^{1,2}, 刘行发³, 蔡长福², 廖柏林⁴, 张盛钟⁴, 张森行³, 蔡邦平^{1,2}

(¹福建农林大学风景园林与艺术学院, 福州 350002; ²厦门市园林植物园, 福建厦门 361003; ³福建省武平南坊国有林场, 龙岩 364300;

⁴福建省龙岩市林业种苗站, 龙岩 364000)

摘要: 为了研究朱砂根(*Ardisia crenata* Sims)种质资源表型多样性, 利用变异分析、相关性分析、主成分分析以及聚类分析等方法对56份朱砂根种质资源的32个表型性状进行了分析。多样性分析结果表明56份朱砂根种质存在丰富的变异, 18个质量性状的Shannon-Wiener多样性指数变化范围为0.300~1.247, 均值为0.734; 14个数量性状Shannon-Wiener多样性指数1.931~2.071, 均值2.007, 变异系数8.98%~46.32%, 均值23.3%。相关性分析结果表明, 果实横径和纵径相关性最大, 果皮颜色与果枝总轴颜色、果枝分轴颜色、果柄颜色均呈极显著正相关, 节间长度与株高、当年生主干高均呈极显著正相关。主成分分析结果表明, 8个主成分累计贡献率达到76.34%, 主要为植株与果枝长度, 果实、叶片等颜色, 是朱砂根种质表型差异的主要因素; 筛选获得4个综合得分高的朱砂根优良种质资源。聚类分析可将56份朱砂根种质分为6个类群, 不同类群间表型性状存在较大差异。丰富的表型多样性和变异类型为朱砂根优良种质资源的选育、开发和利用奠定了基础。

关键词: 朱砂根; 种质资源; 表型多样性; 主成分分析; 聚类分析; 综合评价

Genetic Diversity Analysis of Phenotypic Traits in *Ardisia crenata* Germplasm Resources in Wuping, Fujian

LUO Xiaoting^{1,2}, LIU Xingfa³, CAI Changfu², LIAO Bolin⁴, ZHANG Shengzhong⁴,
ZHANG Senhang³, CAI Bangping^{1,2}

(¹College of Landscape Architecture and Art, Fujian Agriculture and Forestry University, Fuzhou 350002;

²Xiamen Botanical Garden, Xiamen 361003, Fujian; ³Fujian Wuping Nanfang State Forestry Farm, Longyan 364300;

⁴Fujian Longyan Forestry Seedling Station, Longyan 364000)

Abstract: To explore the phenotypic diversity of *A. crenata* germplasm resources, 32 phenotypic traits of 56 *A. crenata* germplasm resources were analyzed using variance analysis, correlation analysis, principal component analysis, and cluster analysis. Diversity analyses showed that 56 *A. crenata* germplasm had enriched variation, with the Shannon-Wiener indices of 18 qualitative traits varying from 0.300 to 1.247, with a mean value of 0.734, and 14 quantitative traits with Shannon-Wiener indices ranging from 1.931 to 2.071, with a mean value of 2.007, and coefficients of variation 8.98%-46.32%, mean value 23.3%. The results of the correlation analysis showed that fruit transverse and longitudinal diameters had the highest correlation, fruit skin color was highly significantly positively correlated with fruiting branch total axis color, fruiting branch sub-axis color, fruit stalk color, and internode length was highly significantly positive correlated with plant height, current year

收稿日期: 2024-05-28 网络出版日期: 2024-11-27

URL: <https://doi.org/10.13430/j.cnki.jpgr.20240528001>

第一作者研究方向为园林植物与观赏园艺, E-mail: 1221775039@fafu.edu.cn

通信作者: 张森行, 研究方向为林业种苗花卉, E-mail: shbslc020@sina.com

蔡邦平, 研究方向为园林植物与观赏园艺, E-mail: caibangping@xiamenbg.com

基金项目: 福建省林业科技项目(闽林科便函[2020]9号); 福建省种业创新与产业化工程项目(2021-2025年)(ZYCX-LY-202104); 厦门市社会发展领域指导性项目(3502Z2024ZD4013)

Foundation projects: Fujian Forestry Science and Technology Project (Letter of Fujian Forestry Science and Technology [2020] No.9); Fujian Seed Industry Innovation and Industrialisation Project (2021-2025) (ZYCX-LY-202104); Xiamen Municipal Directed Project in the Field of Social Development (3502Z2024ZD4013)

trunk height. Principal component analysis indicated that eight principal components with a cumulative contribution of 76.34%, mainly plant and fruiting branch length, fruit and leaf color, were the main factors for phenotypic differences in *A. crenata* germplasm; four excellent germplasm resources of *A. crenata* with high composite scores were obtained by screening. Cluster analysis could classify the 56 *A. crenata* germplasm into six taxa, and there were large differences in phenotypic traits among different taxa. The abundant phenotypic diversity and varietal types provide a basis for the selection, development, and utilization of superior germplasm resources of *A. crenata*.

Key words: *Ardisia crenata*; germplasm resources; phenotypic diversity; principal component analysis; cluster analysis; comprehensive evaluation

朱砂根(*Ardisia crenata* Sims)为报春花科紫金牛属植物,又名富贵籽、大罗伞、黄金万两等,分布于我国长江以南大部分地区,生长于海拔100~2400 m的疏、密林下荫湿的灌木丛中,印度、缅甸、马来半岛、印度尼西亚至日本有分布^[1]。朱砂根果实球形,成熟果色红艳,果量丰富,自10月至翌年3月挂果,被赋予“富贵”、“团圆”、“多子多福”等寓意,是深受消费者喜爱的极佳观果植物。

自20世纪90年代福建省武平县开始引种驯化培育朱砂根后,朱砂根逐渐发展成为当地的特色花卉产业。朱砂根作为新兴观果植物,其栽培历史极为短暂,国内外对于朱砂根的研究主要集中在生理生化^[2-4]、繁殖栽培^[5-7]、药理作用^[8-11]、种质资源多样性^[12-14]等方面。在云南、广东、浙江、江西、海南、贵州等朱砂根分布地,均有研究者对当地紫金牛属植物资源进行调查和评价^[15-20],为紫金牛属植物的开发利用提供了依据。毛世忠等^[21]利用层次分析法对广西的紫金牛属野生观赏植物进行综合评价,结果发现朱砂根综合评价价值最高,最具观赏价值和开发潜力;骆亮等^[22]利用荧光ISSR标记对福建省20个朱砂根野生居群的255个植株进行遗传多样性及遗传结构分析;陶萌春^[23]对6个野生朱砂根居群144个单株的20个形态性状进行分析,揭示朱砂根不同居群植株形态的地理分化特性;康阳等^[24]分析16份朱砂根品种的表型性状遗传多样性,筛选出4个核心种质资源;郎云虎等^[25]基于ITS和matK序列,揭示了16个不同居群的69份朱砂根存在丰富的遗传多样性,且遗传距离与地理空间距离相关。种质资源是品种创新、改良和新品种选育的关键和基础,朱砂根种质资源的遗传多样性研究有利于揭示种源间的遗传变异和进化关系,对优良种质资源的挖掘、创新和利用具有重要意义。目前对于朱砂根种质资源的研究,存在以野生居群为主、代表性种质资源少、调查性状少等问题,无法满足对朱砂根品

种创新与改良的实际需求、无法系统性地评测朱砂根优良品种。本研究以福建省武平县收集保存的56份朱砂根种质资源为试验材料,选择32个表型性状对供试植株进行观测,分析朱砂根种质资源表型多样性,以期对种质资源保存、开发利用和新品种DUS测试与选育以及其他观果植物的研究提供参考。

1 材料与方法

1.1 试验材料

56份朱砂根种质资源由福建省武平县南坊国有林场提供(表1),试验植株收集于福建省武平县,均为当地各花圃栽培的品种或变异品系,集中栽植于武平县东留镇大洋村朱砂根种质资源圃中,序号1~38每份种质6株,序号39~56每份种质6~12株,株行距60 cm×60 cm,所有种质资源统一按田间常规管理,生长健壮,性状稳定。序号1~38种质的编号为种质资源圃所保存编号,株龄5年,其中1803和1810为申报审定品种;序号39~47种质为已审定的9个品种,根据品种名缩写进行编号,株龄3年;序号48~56的9个种质为申报审定品种,根据拟定品种名缩写进行编号,株龄3年。

1.2 性状测定

根据朱砂根的主要观赏性状,参考康阳等^[24]和骆亮^[26]的研究,选择32个表型性状对供试种质资源进行观测,其中数量性状14个、质量性状18个(表2)。在朱砂根果实成熟期,每份种质资源均选择3株长势一致的健康植株进行观测。质量性状主要采用目测法,颜色性状使用英国皇家园林协会RHS比色卡测量;干径、果实横径和纵径使用游标卡尺测量,其余与长度相关的数量性状使用直尺或卷尺测量;数量性状均设置3次重复测量,结果取平均值,质量性状采用群体观测法并通过赋值法进行分级。

表 1 56份朱砂根种质资源

Table 1 56 *A. crenata* germplasm resources

| 序号 No. | 编号 Code | 类别 Type | 品种名称/拟定品种名称 Variety name/ proposed variety name | 序号 No. | 编号 Code | 类别 Type | 品种名称/拟定品种名称 Variety name/ proposed variety name |
|-----------|------------|------------|--|-----------|------------|------------|--|
| 1 | 1801 | 绿叶红果品系 | / | 29 | 1829 | 绿叶红果品系 | / |
| 2 | 1802 | 绿叶红果品系 | / | 30 | 1830 | 绿叶红果品系 | / |
| 3 | 1803 | 申报审定品种 | 鸿福龙(申请号:20240853) | 31 | 1831 | 紫叶红果品系 | / |
| 4 | 1804 | 绿叶红果品系 | / | 32 | 1832 | 绿叶红果品系 | / |
| 5 | 1805 | 紫叶红果品系 | / | 33 | 1833 | 绿叶红果品系 | / |
| 6 | 1806 | 绿叶红果品系 | / | 34 | 1834 | 绿叶红果品系 | / |
| 7 | 1807 | 绿叶红果品系 | / | 35 | 1835 | 绿叶红果品系 | / |
| 8 | 1808 | 绿叶红果品系 | / | 36 | 1836 | 绿叶红果品系 | / |
| 9 | 1809 | 绿叶红果品系 | / | 37 | 1837 | 紫叶红果品系 | / |
| 10 | 1810 | 申报审定品种 | 双色龙(申请号:20240852) | 38 | 1838 | 绿叶红果品系 | / |
| 11 | 1811 | 绿叶红果品系 | / | 39 | BXZ | 品种 | 碧霞珠 |
| 12 | 1812 | 绿叶红果品系 | / | 40 | CCJ | 品种 | 串串金 |
| 13 | 1813 | 绿叶红果品系 | / | 41 | CD | 品种 | 赤丹 |
| 14 | 1814 | 绿叶红果品系 | / | 42 | CLL | 品种 | 赤玲珑 |
| 15 | 1815 | 绿叶红果品系 | / | 43 | DFG | 品种 | 大富贵 |
| 16 | 1816 | 紫叶红果品系 | / | 44 | FJR | 品种 | 粉佳人 |
| 17 | 1817 | 紫叶红果品系 | / | 45 | FMT | 品种 | 福满堂 |
| 18 | 1818 | 绿叶红果品系 | / | 46 | FZ | 品种 | 福株 |
| 19 | 1819 | 绿叶红果品系 | / | 47 | JG | 品种 | 金果 |
| 20 | 1820 | 绿叶红果品系 | / | 48 | WLZ | 申报审定品种 | 舞龙珠(申请号:20240834) |
| 21 | 1821 | 绿叶红果品系 | / | 49 | YLG | 申报审定品种 | 银龙骨(申请号:20240849) |
| 22 | 1822 | 绿叶红果品系 | / | 50 | ZLZ | 申报审定品种 | 紫龙珠(申请号:20240848) |
| 23 | 1823 | 绿叶红果品系 | / | 51 | JLC | 申报审定品种 | 巨龙串(申请号:20240833) |
| 24 | 1824 | 绿叶红果品系 | / | 52 | JFL | 申报审定品种 | 聚福龙(申请号:20240835) |
| 25 | 1825 | 绿叶红果品系 | / | 53 | FDL | 申报审定品种 | 粉丹龙(申请号:20240847) |
| 26 | 1826 | 绿叶红果品系 | / | 54 | ZJL | 申报审定品种 | 紫娇龙(申请号:20240851) |
| 27 | 1827 | 绿叶红果品系 | / | 55 | LLC | 申报审定品种 | 彩鳞龙(申请号:20240850) |
| 28 | 1828 | 绿叶红果品系 | / | 56 | JBL | 申报审定品种 | 金边龙(申请号:20240832) |

/: 该种质资源为变异品系, 无品种名称

/: This germplasm resource is a mutant strain without variety name

表 2 朱砂根种质资源表型性状及测量标准

Table 2 Phenotypic traits and measurement criteria for *A. crenata* germplasm resources

| 性状 Traits | 性状缩写 Trait abbreviations | 数量性状测量标准及质量性状赋值标准 Quantitative trait measurement criteria and qualitative trait assignment criteria |
|-------------------|-----------------------------|--|
| 株高 Plant height | PH | 植株露出地面处至顶端的高度, 单位: cm |
| 冠幅 Crown width | CW | 植株东南和西北方向宽度的平均值, 单位: cm |
| 干径 Trunk diameter | TD | 植株主干露出地面处的直径, 单位: cm |

表 2 (续)

| 性状 Traits | 性状缩写 Trait abbreviations | 数量性状测量标准及质量性状赋值标准 Quantitative trait measurement criteria and qualitative trait assignment criteria |
|--|-----------------------------|--|
| 当年生主干高 Current year trunk height | CYTH | 当年生主干的高度,单位:cm |
| 节间长度 Interval length | IL | 当年生主干中部的节间长度,单位:cm |
| 叶长 Leaf length | LL | 当年生枝上最大的3片叶子的长度,取平均值,单位:cm |
| 叶宽 Leaf width | LW | 当年生枝上最大的3片叶子宽度,取平均值,单位:cm |
| 叶柄长 Petiole length | PL | 当年生枝上最大的3片叶子叶柄长度,取平均值,单位:cm |
| 果枝总轴长度 Fruiting branch total axis length | FBTAL | 果枝层中部3个果枝总轴的长度,取平均值,单位:cm |
| 果枝分轴长度 Fruiting branch sub-axis length | FBSL | 果枝层中部3个果枝分轴的长度,取平均值,单位:cm |
| 果实纵径 Longitudinal diameter of fruit | LDF | 果枝层中部果枝分轴上3个成熟果实的纵向直径,取平均值,单位:cm |
| 果实横径 Transverse diameter of fruit | TDF | 果枝层中部果枝分轴上3个成熟果实的横向直径,取平均值,单位:cm |
| 果枝数量 Number of fruiting branches | NFB | 植株上挂果枝条的数量,单位:个 |
| 单穗果数 Number of fruits per branch | NFPB | 果枝层中部3个果枝的果实数量,取平均值,单位:个 |
| 主干 Main stem | MS | 有=1,无=2 |
| 冠形 Crown shape | CS | 倒卵形=1,圆柱形=2,扁球形=3,伞形=4,塔形=5 |
| 叶型 Leaf shape | LS | 倒披针形=1,长椭圆形=2,椭圆状倒披针形=3 |
| 叶横切面形状 Leaf cross-section shape | LCS | 浅V型=1,近一字型=2 |
| 叶缘波状程度 Degree of undulation of leaf margin | DULM | 强=1,中=2,无或弱=3 |
| 枝密度 Branch density | BD | 紧凑=1,中等=2,稀疏=3 |
| 分枝角度 Branching angle | BA | 大=1,中=2,小=3 |
| 果枝姿态 Fruit branch posture | FBP | 斜上=1,近平展=2,下垂=3 |
| 果实形状 Fruit shape | FS | 球形=1,扁球形=2 |
| 果皮光泽 Fruit skin lustre | FSL | 强=1,中=2,弱=3 |
| 当年生枝颜色 Current branch color | CBC | 褐绿=1,黄绿=2,浅黄绿=3,肉粉=4 |
| 叶表颜色 Leaf surface color | LSC | 暗绿=1,深绿=2,黄绿=3,暗绿镶白边=4,不规则白绿复色=5 |
| 叶背颜色 Leaf back color | LBC | 浅绿=1,暗紫=2,浅紫=3,深紫红=4,浅紫红=5,紫红镶白边=6,不规则白紫复色=7 |
| 果枝总轴颜色 Fruiting branch total axis color | FBTAC | 深褐=1,黄绿=2,浅黄绿=3,粉=4,褐绿=5 |
| 果枝分轴颜色 Fruiting branch sub-axis color | FBSC | 深褐=1,褐=2,褐绿=3,绿=4,浅绿=5,暗粉=6,浅粉=7,红绿渐变=8 |
| 果柄颜色 Fruit stalk color | FSC1 | 暗褐紫=1,褐紫=2,绿=3,浅绿=4,深粉=5,浅粉=6 |
| 果皮颜色 Fruit skin color | FSC2 | 暗紫红=1,暗红=2,红=3,深粉=4,粉=5,桃粉=6,浅黄绿=7,乳黄=8 |
| 宿萼颜色 Persistent sepal color | PSC | 暗褐紫=1,褐紫=2,暗粉=3,粉=4,浅粉=5,浅绿=6 |

1.3 数据分析

使用 Excel 2016 对原始数据进行整理,计算各数量性状的平均值(X)、标准差(S)和变异系数。对数量性状进行分级,相邻两极相差 0.5S,共分为 10 级,即 1 级 $< X-2S$ 、 $X-2S \leq 2$ 级 $< X-1.5S$ 、 $X-1.5S \leq 3$ 级 $< X-S$ 、 \dots 、 $X+1.5S \leq 9$ 级 $< X+2S$ 、 $X+2S \leq 10$ 级,分级后进行频率分布和 Shannon-Wiener 多样性指数(H')的计算。Shannon-Wiener 多样性指数(H')=

$-\sum P_i \ln P_i$,其中 P_i 为某一个性状第 i 个级别出现的概率。

质量性状根据赋值后的数据计算频率分布,并进一步计算 Shannon-Wiener 多样性指数(以下简称多样性指数)。

用 SPSS (Version 20) 软件进行相关性分析,相关系数使用 Pearson 系数表示,并通过 Excel 2016 绘制热图。

使用SPSS(Version20)进行主成分分析和聚类分析。主成分分析以特征值大于1为标准提取主成分。以主成分特征向量除以特征值的算术平方根作为权重,标准化后的原始数据与相应权重进行线性加权求和,得到主成分综合得分。系统聚类方法采用组间连接,区间度量标准为平均欧式距离。

2 结果与分析

2.1 多样性分析

2.1.1 质量性状多样性分析 56份朱砂根种质资源质量性状的多样性分析结果表明,18个质量性状的多样性指数变化范围为0.300(主干)~1.247(果枝分轴颜色),平均为0.734(表3)。多样性指数较高的

5个质量性状依次为果枝分轴颜色(1.247)、宿萼颜色(1.094)、叶型(0.992)、果皮颜色(0.947)和叶背颜色(0.931),其中有4个性状与颜色相关,说明朱砂根种质资源各部位在颜色方面存在丰富的变化。多样性较低的3个性状为主干(0.300)、果实形状(0.377)和果枝姿态(0.464),说明这3个质量性状的遗传特性较稳定。根据频率分布显示,大多数朱砂根种质资源的质量性状特征表现为:有主干,冠型为圆柱形,枝密度中等,分枝角度中等;叶型为椭圆状倒披针形,叶横切面为浅V型,叶缘波状程度中等,叶表深绿色,叶背浅绿色;果枝姿态近平展,果枝总轴为浅黄绿色,分轴为褐绿色;果实形状球形,果皮光泽中等,果柄为褐紫色,果皮为红色,宿萼为褐紫色或暗粉色。

表3 朱砂根种质资源质量性状分布频率及多样性分析

Table 3 Frequency of distribution and diversity analysis of quality traits in *A. crenata* germplasm resources

| 性状 Traits | 频率分布(%) Frequency distribution | | | | | | | | Shannon-Wiener 多样性指数 H' |
|--------------|--------------------------------|------|------|-----|-----|-----|-----|-----|---------------------------------|
| | 1 | 2 | 3 | 4 | 5 | 6 | 7 | 8 | |
| 主干MS | 91.1 | 8.9 | | | | | | | 0.300 |
| 冠形CS | 23.2 | 67.9 | 5.4 | 1.8 | 1.8 | | | | 0.904 |
| 叶型LS | 14.3 | 35.7 | 50 | | | | | | 0.992 |
| 叶横切面形状LCS | 82.1 | 17.9 | | | | | | | 0.470 |
| 叶缘波状程度DULM | 7.1 | 50 | 42.9 | | | | | | 0.897 |
| 枝密度BD | 16.1 | 82.1 | 1.8 | | | | | | 0.528 |
| 分枝角度BA | 21.4 | 73.2 | 5.4 | | | | | | 0.716 |
| 果枝姿态FBP | 1.8 | 85.7 | 12.5 | | | | | | 0.464 |
| 果实形状FS | 87.5 | 12.5 | | | | | | | 0.377 |
| 果皮光泽FSL | 8.9 | 67.9 | 23.2 | | | | | | 0.817 |
| 当年生枝颜色CBC | 16.1 | 78.6 | 3.6 | 1.8 | | | | | 0.675 |
| 叶表颜色LSC | 19.6 | 71.4 | 3.6 | 3.6 | 1.8 | | | | 0.872 |
| 叶背颜色LBC | 73.2 | 16.1 | 1.8 | 1.8 | 1.8 | 3.6 | 1.8 | | 0.931 |
| 果枝总轴颜色FBTAC | 1.8 | 5.4 | 89.3 | 1.8 | 1.8 | | | | 0.476 |
| 果枝分轴颜色FBSC | 1.8 | 19.6 | 60.7 | 8.9 | 3.6 | 1.8 | 1.8 | 1.8 | 1.247 |
| 果柄颜色FSC1 | 1.8 | 89.3 | 1.8 | 3.6 | 1.8 | 1.8 | | | 0.510 |
| 果皮颜色FSC2 | 1.8 | 8.9 | 76.8 | 3.6 | 1.8 | 1.8 | 3.6 | 1.8 | 0.947 |
| 宿萼颜色PSC | 1.8 | 42.9 | 46.4 | 1.8 | 1.8 | 5.4 | | | 1.094 |

2.1.2 数量性状多样性分析 56份朱砂根种质资源数量性状多样性指数变化范围为1.931~2.071,平均值2.007(表4),表明这14个数量性状呈现较高水平的多样性,其中果实横径(2.071)、果实纵径(2.067)和株高(2.049)的多样性指数较高,果枝数量多样性指数最低。14个数量性状的变异系数范

围为8.98%~46.32%,平均为23.3%,表明朱砂根种质资源的数量性状存在丰富的变异;其中节间长度的变异系数最高,当年生主干高次之(37.86%),表明不同朱砂根种质资源间的节间长度和当年生主干高差异较大。果实纵径的变异系数最低,说明果实纵径的性状稳定性较高(表5)。

表4 朱砂根种质资源数量性状分布频率及多样性分析

Table 4 Frequency and diversity analysis of quantitative traits in *A. crenata* germplasm resources

| 性状 Traits | 频率分布(%) Frequency distribution | | | | | | | | | | Shannon-Wiener 多样性指数 H' |
|--------------|--------------------------------|-----|------|------|------|------|------|------|-----|-----|---------------------------------|
| | 1 | 2 | 3 | 4 | 5 | 6 | 7 | 8 | 9 | 10 | |
| 株高PH | 1.8 | 5.4 | 8.9 | 19.6 | 12.5 | 16.1 | 17.9 | 14.3 | 1.8 | 1.8 | 2.049 |
| 冠幅CW | | 5.4 | 8.9 | 19.6 | 23.2 | 14.3 | 14.3 | 7.1 | 3.6 | 3.6 | 2.015 |
| 干径TD | 5.4 | 1.8 | 8.9 | 12.5 | 17.9 | 30.4 | 8.9 | 5.4 | 7.1 | 1.8 | 2.008 |
| 当年生主干高CYTH | | 8.9 | 5.4 | 12.5 | 25 | 21.4 | 7.1 | 12.5 | 3.6 | 3.6 | 1.996 |
| 节间长度IL | | 7.1 | 7.1 | 21.4 | 14.3 | 25 | 10.7 | 5.4 | 8.9 | | 1.942 |
| 叶长LL | 1.8 | 1.8 | 17.9 | 16.1 | 14.3 | 14.3 | 8.9 | 19.6 | 5.4 | | 1.995 |
| 叶宽LW | 1.8 | 1.8 | 5.4 | 26.8 | 21.4 | 17.9 | 10.7 | 7.1 | 1.8 | 5.4 | 1.950 |
| 叶柄长PL | | 5.4 | 7.1 | 23.2 | 14.3 | 21.4 | 12.5 | 8.9 | 3.6 | 3.6 | 2.007 |
| 果枝总轴长度FBTAL | 1.8 | 7.1 | 7.1 | 12.5 | 21.4 | 16.1 | 19.6 | 10.7 | | 3.6 | 2.010 |
| 果枝分轴长度FBSL | 1.8 | 1.8 | 17.9 | 12.5 | 19.6 | 16.1 | 14.3 | 12.5 | 1.8 | 1.8 | 2.009 |
| 果实纵径LDF | 1.8 | 5.4 | 5.4 | 23.2 | 16.1 | 17.9 | 12.5 | 10.7 | 3.6 | 3.6 | 2.067 |
| 果实横径TDF | 1.8 | 3.6 | 10.7 | 17.9 | 25 | 12.5 | 12.5 | 7.1 | 5.4 | 3.6 | 2.071 |
| 果枝数量NFB | 1.8 | 3.6 | 5.4 | 23.2 | 16.1 | 23.2 | 16.1 | 5.4 | | 5.4 | 1.931 |
| 单穗果数NFPB | 1.8 | 1.8 | 12.5 | 16.1 | 21.4 | 16.1 | 14.3 | 8.9 | 5.4 | 1.8 | 2.046 |

表5 朱砂根种质资源数量性状差异分析

Table 5 Differences analysis of quantitative traits in *A. crenata* germplasm resources

| 性状 Traits | 极小值 Min. | 极大值 Max. | 平均值 Average | 标准差 SD | 变异系数(%) CV |
|-------------------|----------|----------|-------------|--------|------------|
| 株高 (cm) PH | 25.00 | 109.00 | 68.75 | 19.28 | 28.05 |
| 冠幅 (cm) CW | 29.50 | 66.50 | 44.70 | 7.85 | 17.56 |
| 干径 (cm) TD | 1.03 | 2.05 | 1.55 | 0.24 | 15.16 |
| 当年生主干高 (cm) CYTH | 6.00 | 36.00 | 20.42 | 7.73 | 37.86 |
| 节间长度 (cm) IL | 0.10 | 1.50 | 0.84 | 0.39 | 46.32 |
| 叶长 (cm) LL | 6.05 | 10.90 | 8.68 | 1.23 | 14.14 |
| 叶宽 (cm) LW | 2.03 | 4.43 | 3.16 | 0.48 | 15.07 |
| 叶柄长 (cm) PL | 0.47 | 1.13 | 0.76 | 0.15 | 19.73 |
| 果枝总轴长度 (cm) FBTAL | 3.83 | 19.33 | 11.68 | 3.16 | 27.06 |
| 果枝分轴长度 (cm) FBSL | 1.20 | 5.67 | 3.13 | 0.86 | 27.64 |
| 果实纵径 (cm) LDF | 0.69 | 1.05 | 0.85 | 0.08 | 8.98 |
| 果实横径 (cm) TDF | 0.73 | 1.18 | 0.94 | 0.10 | 10.22 |
| 果枝数量 NFB | 8.00 | 45.00 | 22.50 | 6.63 | 29.44 |
| 单穗果数 NFPB | 14.00 | 80.33 | 42.19 | 12.22 | 28.97 |

2.2 相关性分析

质量性状相关性分析表明,果皮颜色与宿萼颜色(0.832)、果枝分轴颜色与果柄颜色(0.805)、叶表颜色与叶背颜色(0.651)、果枝总轴颜色与果柄颜色(0.626)均呈极显著正相关,枝密度与主干、冠形均呈极显著负相关,相关系数分别为-0.360和-0.422(图1)。

数量性状相关性分析表明,果实横径与果实纵径相关系数最大,为0.928,其次为株高与当年生主干高(0.723),再次为节间长度与株高、当年生主干高,相关系数分别为0.687和0.679。果枝总轴长度、果枝分轴长度、株高与冠幅4个性状相互之间的相关系数介于0.463~0.675,均为极显著正相关关系(图2)。

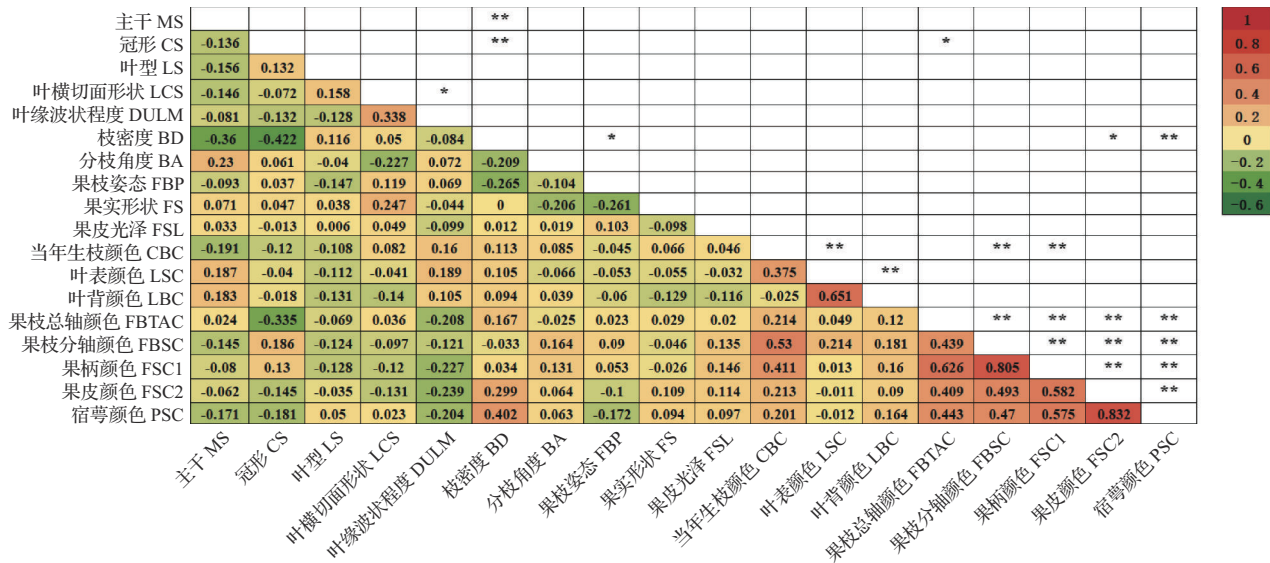


图1 朱砂根种质资源质量性状相关性分析

Fig. 1 Correlation analysis of quality traits in *A. crenata* germplasm resources

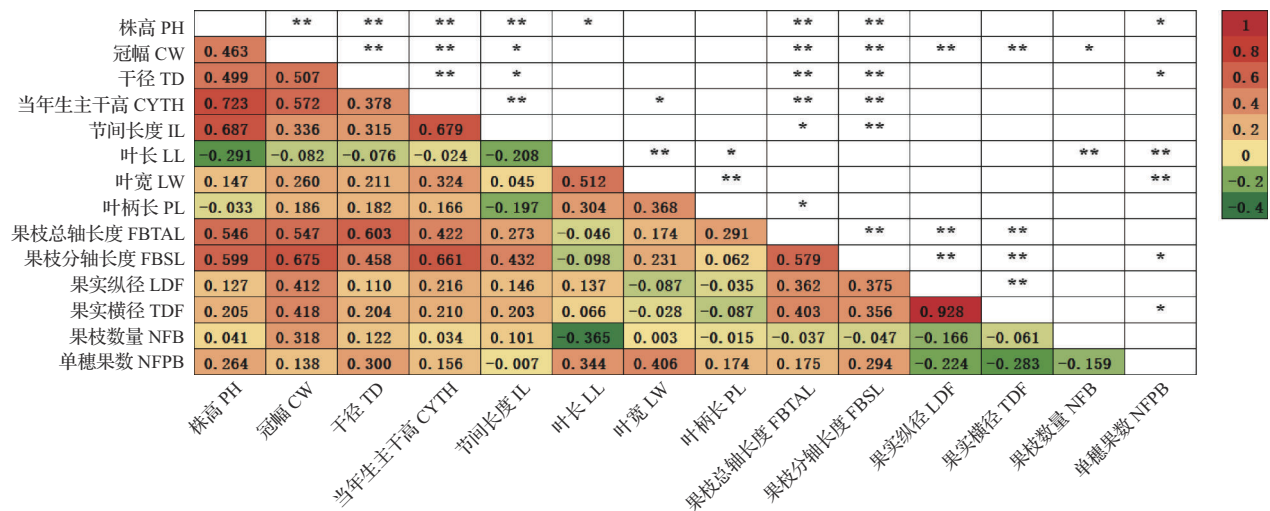


图2 朱砂根种质资源数量性状相关性分析

Fig. 2 Correlations analysis of quantitative traits in *A. crenata* germplasm resources

2.3 主成分分析

对所有 32 个表型性状数据进行 KMO 和 Bartlett 球形检验,结果显示 KMO 值为 0.528 (<0.6),表明这些数据不适合于主成分分析。因此根据相关性分析剔除部分相关较弱(与其他性状的相关系数大部分介于-0.1~0.1)的性状数据,最终筛选出 26 个表型性状进行主成分分析,其 KMO 值为 0.602, Sig. 值小于 0.05。

提取特征值大于 1 的 8 个主成分,累计贡献率达到 76.343%,包含了朱砂根种质资源表型性状数据的大部分信息(表 6)。第 1 主成分贡献率为

20.030%,特征向量较大的性状包括果枝分轴长度、冠幅、株高、果枝总轴长度、当年生主干高和干径,主要反映植株整体和枝干长度特性;第 2 主成分贡献率为 16.214%,特征向量较大的性状依次为果枝分轴颜色、果柄颜色、宿萼颜色、果皮颜色、单穗果数和果枝总轴颜色,主要反映果实数量和果枝、果实等各部位与颜色相关的特性;第 3 主成分贡献率为 8.665%,特征向量较大的性状包括叶长、果实纵径、果实横径,反映叶片和果实大小;第 4 主成分贡献率为 8.118%,特征向量较大的性状包括叶背颜色、叶表颜色、叶宽,主要反映了叶部性状;第 5 主成

分贡献率为 7.870%, 特征向量较大的性状包括主干、叶表颜色和果枝数量; 第 6 主成分贡献率为 6.440%, 特征向量较大的性状包括果枝数量、叶横切面形状、叶柄长; 第 7 主成分贡献率为 4.640%, 特

征向量较大的性状包括主干、叶型、叶柄长、宿萼颜色、果皮颜色; 第 8 主成分贡献率为 4.367%, 特征向量较大的性状包括叶型、叶背颜色、叶表颜色、叶缘波状程度。

表 6 朱砂根种质资源主成分特征值及方差贡献率

Table 6 Principal component eigenvalues and variance contributions of *A. crenata* germplasm resources

| 性状 Traits | 主成分 1 PC1 | 主成分 2 PC2 | 主成分 3 PC3 | 主成分 4 PC4 | 主成分 5 PC5 | 主成分 6 PC6 | 主成分 7 PC7 | 主成分 8 PC8 |
|----------------------------------|--------------|--------------|--------------|--------------|--------------|--------------|--------------|--------------|
| 株高 PH | 0.732 | 0.206 | -0.441 | 0.084 | 0.011 | -0.176 | -0.116 | 0.157 |
| 冠幅 CW | 0.764 | 0.138 | 0.028 | 0.112 | 0.329 | 0.235 | 0.042 | -0.226 |
| 干径 TD | 0.668 | 0.219 | -0.158 | -0.041 | -0.239 | 0.260 | -0.155 | -0.069 |
| 当年生主干高 CYTH | 0.686 | 0.328 | -0.328 | 0.071 | 0.112 | -0.224 | 0.233 | -0.087 |
| 节间长度 IL | 0.562 | -0.017 | -0.498 | 0.138 | 0.200 | -0.358 | 0.160 | 0.037 |
| 叶长 LL | -0.158 | 0.453 | 0.568 | 0.151 | -0.181 | -0.228 | 0.268 | -0.374 |
| 叶宽 LW | 0.239 | 0.425 | 0.222 | 0.484 | -0.296 | 0.055 | 0.130 | -0.368 |
| 叶柄长 PL | 0.133 | 0.445 | 0.281 | 0.050 | -0.337 | 0.364 | 0.323 | 0.118 |
| 果枝总轴长度 FBTL | 0.729 | 0.302 | 0.063 | -0.089 | -0.066 | 0.051 | -0.046 | 0.231 |
| 果枝分轴长度 FBSL | 0.782 | 0.234 | -0.079 | 0.038 | 0.080 | -0.155 | -0.163 | -0.080 |
| 果实纵径 LDF | 0.546 | -0.171 | 0.532 | -0.350 | 0.297 | -0.269 | 0.118 | -0.074 |
| 果实横径 TDF | 0.607 | -0.229 | 0.491 | -0.312 | 0.299 | -0.189 | 0.080 | -0.064 |
| 果枝数量 NFB | 0.087 | -0.168 | -0.306 | 0.148 | 0.406 | 0.699 | 0.130 | -0.169 |
| 单穗果数 NFPB | 0.081 | 0.568 | -0.108 | 0.384 | -0.263 | -0.086 | -0.205 | -0.291 |
| 主干 MS | -0.294 | -0.384 | -0.181 | 0.151 | 0.559 | 0.134 | 0.350 | -0.298 |
| 叶型 LS | 0.191 | 0.050 | -0.181 | -0.053 | -0.497 | 0.199 | 0.362 | 0.349 |
| 叶横切面形状 LCS | 0.418 | 0.063 | 0.289 | 0.016 | -0.016 | 0.493 | 0.202 | 0.135 |
| 叶缘波状程度 DULM | 0.257 | -0.159 | 0.442 | 0.305 | 0.199 | 0.063 | -0.119 | 0.313 |
| 当年生枝颜色 CBC | 0.060 | 0.522 | 0.364 | 0.052 | 0.344 | 0.160 | -0.335 | 0.173 |
| 叶表颜色 LSC | -0.136 | 0.177 | 0.204 | 0.637 | 0.407 | -0.070 | 0.068 | 0.374 |
| 叶背颜色 LBC | -0.364 | 0.227 | -0.073 | 0.680 | 0.182 | -0.294 | 0.213 | 0.203 |
| 果枝总轴颜色 FBTLAC | -0.153 | 0.533 | -0.211 | -0.272 | 0.382 | 0.193 | 0.062 | 0.018 |
| 果枝分轴颜色 FBTLAC | -0.300 | 0.749 | 0.015 | -0.029 | 0.218 | 0.087 | -0.301 | -0.012 |
| 果柄颜色 FSC1 | -0.425 | 0.741 | -0.097 | -0.207 | 0.177 | 0.098 | -0.183 | -0.094 |
| 果皮颜色 FSC2 | -0.287 | 0.633 | -0.051 | -0.427 | 0.165 | -0.184 | 0.272 | 0.067 |
| 宿萼颜色 PSC | -0.194 | 0.712 | -0.079 | -0.343 | 0.062 | -0.110 | 0.337 | 0.153 |
| 特征值 Eigenvalue | 5.208 | 4.216 | 2.253 | 2.111 | 2.046 | 1.674 | 1.206 | 1.136 |
| 方差贡献率(%) Variance contribution | 20.030 | 16.214 | 8.665 | 8.118 | 7.870 | 6.440 | 4.640 | 4.367 |
| 累计贡献率(%) Cumulative contribution | 20.030 | 36.243 | 44.908 | 53.027 | 60.896 | 67.336 | 71.976 | 76.343 |

2.4 综合评价

主成分值 F_n 的计算公式为： $F_1=0.343Z_1+0.335Z_2+0.321Z_3+\dots+0.038Z_{25}+0.183Z_{26}$ ，其中 Z_n 为标准化后的性状数据，以此类推计算出 $F_1\sim F_8$ 的8个主成分值(表7)。进一步根据各主成分对应的方差贡献率为权数获得综合得分计算公式为： $F=(0.2003F_1+0.16214F_2+0.08665F_3+0.08118F_4+0.0787F_5+0.0644F_6+0.0464F_7+0.04367F_8)/0.7634$ 。

表7 朱砂根种质资源主成分值的筛选

Table 7 Screening of principal component values of *A. crenata* germplasm resources

| 编号 Code | 主成分值 Principal component value | | | | | | | | 综合得分 Composite score | 排名 Ranking |
|------------|--------------------------------|------|------|-------|-------|-------|-------|-------|-------------------------|---------------|
| | F1 | F2 | F3 | F4 | F5 | F6 | F7 | F8 | | |
| 1803 | 4.83 | 3.32 | 1.76 | 0.10 | 0.95 | -0.61 | -0.48 | -0.90 | 2.148 | 1 |
| 1823 | 2.49 | 3.84 | 0.30 | -0.95 | 0.68 | 0.25 | 0.43 | 0.08 | 1.533 | 2 |
| 1810 | 2.06 | 1.16 | 1.25 | 0.58 | 3.35 | -1.63 | 0.91 | 0.28 | 1.271 | 3 |
| 1837 | 3.06 | 2.63 | 0.05 | -0.20 | -0.65 | -0.33 | -0.14 | -0.57 | 1.205 | 4 |

结果显示,所有种质资源综合得分变化范围为-1.664~2.148,其中排名前四的朱砂根种质资源依次为1803、1823、1810、1837(表7、图3)。1803植株高大,叶片较大,枝条长,果实大且单穗果实数量多;1823果实、冠幅大,干径较粗、当年生主干长;1810叶表黄绿色,叶背紫红色,植株高大,叶片较宽;1837叶背浅紫色,单穗果实数量多,干径较粗。



图3 4份优异朱砂根种质资源

Fig. 3 Four excellent *A. crenata* germplasm resources

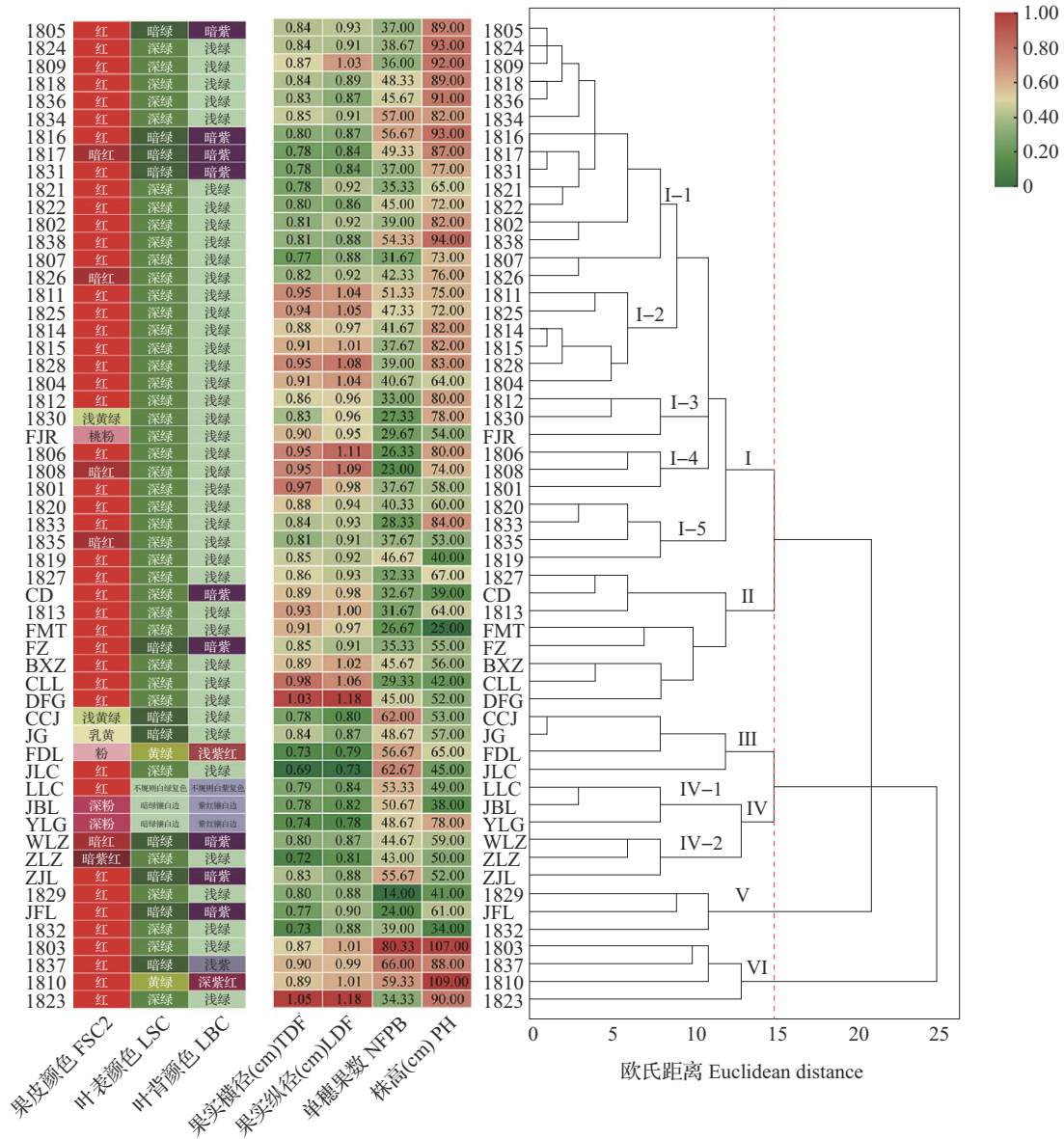
2.5 聚类分析

根据26个表型性状对56份朱砂根种质资源进行系统聚类分析,结果显示,在欧氏距离为15时,56份朱砂根种质资源被分为6个类群(图4)。

第I类包含31份朱砂根种质,大部分叶长中等或较短,果实颜色主要为红色,叶表深绿色或暗绿色,叶背浅绿色或暗紫色,果枝总轴均为黄绿色。当欧氏距离为9时,31份种质又可分为5个亚类群。其中,I-1株高较高,叶长较短,叶片横切面均为浅V型;I-2果实较大;I-3果枝总轴长度较其他亚类群长,1803和FJR果色特殊;I-4果实同样较大,但单穗果数少于I-2;I-5叶柄较长。

第II、III、IV和V类朱砂根种质大部分为株高和冠幅中等或较小的类型。第II类包括8份朱砂

根种质,果色均为红色,果实较大,果实横径平均0.918 cm,单穗果数较少。第III类包括4份朱砂根种质,即CCJ、JG、FDL、JLC,主要特征为叶长较长,单穗果数较多,果实颜色特殊。第IV类包括6份朱砂根种质,主要特征为果实较小,果实颜色或叶片颜色类型丰富;当欧氏距离为13时,第IV类又可分为2个亚类群,YLG、LLC和JBL为一个亚类群,叶片颜色具有特异性,均为复色叶。第V类仅包括3份朱砂根种质,即1829、JFL、1832,主要特征为果枝数量多,平均40个,单穗果数少,平均26个。第VI类包括4份朱砂根种质,即1803、1837、1810、1823,这4份种质与其他类群相比,株高、冠幅、干径、叶长、果枝总轴长度和分轴长度均较大。



聚类图左侧为部分性状的原始数据;材料编号同表 1

The left side of the cluster picture shows the raw data of some traits; The material number is the same as table 1

图 4 56 份朱砂根种质资源聚类分析

Fig. 4 Cluster analysis of 56 *A. crenata* germplasm resources

3 讨论

表型多样性一定程度上反映了遗传多样性,表型多样性研究能够直观、便捷地初步揭示植物的遗传变异水平,对观赏植物的优种筛选和品种改良具有指导意义^[27-28]。经过多年的有性繁殖和栽培后,朱砂根表型逐渐呈现多样化,品种资源日益丰富,然而其种质资源的表型多样性研究仍然较少。本研究对 56 份朱砂根种质资源的 18 个质量性状和 14 个数量性状展开了表型性状多样性分析,Shannon-Wiener 多样性指数和变异系数结果表明不同性状存在不同程度的遗传多样性。一般认为,变异系数

大于 10% 则表明不同种质间的性状差异较大,变异系数越大则该性状的遗传多样性越丰富^[29]。除了果实纵径,其余 13 个数量性状的变异系数均大于 10%,说明这些性状在朱砂根不同种质间的遗传变异较为丰富。Shannon-Wiener 多样性指数反映了性状的丰富度和均匀度^[30]。植株各部位颜色极大地影响着朱砂根的观赏性,而果枝分轴颜色、宿萼颜色、果皮颜色和叶背颜色这 4 个性状的多样性指数均较高,遗传信息丰富,在育种中有广阔的改良和选择空间。另外,朱砂根种质数量性状的多样性指数明显高于质量性状,数量性状更易于受到外界环境的影响而产生差异,而质量性状稳定性较高,这

与王业社等^[31]、苏群等^[32]、杨思霞等^[33]研究结果基本吻合。

相关性分析可以揭示植物在生长发育过程中不同表型性状之间联系的密切程度。18个质量性状之间的相关性分析表明,果枝上各个部位颜色的相关性显著。14个数量性状之间,果实横径与纵径相关性最强,而朱砂根主干和果枝的生长数量性状之间存在极显著的相关性,表明在朱砂根发育过程中,主干和果枝协调生长。研究结果对于朱砂根关联性状的选择及提高优良种质选育效率具有指导意义。

主成分分析能够将原来众多的表型性状进行降维,归结成几个相互独立的综合指标,使种质资源的评价过程简单且客观^[34]。本研究根据特征值大于1为标准,提取到8个主成分,累计贡献率76.343%。8个主成分中特征向量较大的有第1主成分的冠幅、株高、当年生主干高、干径、果枝总轴长度和分轴长度,第2主成分的果枝分轴颜色、果柄颜色、宿萼颜色和果皮颜色,第4主成分的叶表颜色及叶背颜色,第6主成分的果枝数量,这些性状主要涉及植株整体大小、果枝长度以及果实、叶片等各部位颜色,既是造成朱砂根种质表型差异的主要因素,也是衡量朱砂根观赏价值的重要因子,在种质资源评价及实际育种过程中应重点关注。进一步根据主成分分值计算56份种质的综合得分筛选优秀朱砂根种质,综合得分排名前四的依次为1803、1823、1810、1837,表明这4份朱砂根种质性状优异,观赏性强,具有较高的开发和利用价值,可以作为重要种质进行推广。

聚类分析在揭示种质资源之间的亲缘关系及遗传差异中具有重要作用^[35]。本研究将56份朱砂根种质资源聚为6个类群。种质数量最多的为第I类,包含31份朱砂根种质,类群内遗传相似性较高,大部分为红果、绿叶。根据株高、果实大小或颜色等性状,31份种质又可进一步划分为5个亚类群。第III和IV两个类群植株果色和叶色变化丰富,单穗果实数量多,具有较高的观赏价值和育种潜力。第VI类可用于选育大株型、果实大且果量多的品种。

综上,本研究的56份朱砂根种质资源存在丰富的遗传变异,为其开发、利用优秀种质和创新育种提供了物质基础。虽然表型多样性调查简单易行,但植物表型容易受到外界环境的影响^[36-37]。因此,可以结合分子标记技术,在挖掘优异种质资源过程中获得更为精确的遗传信息,为种质资源的开发利

用提供更加科学、合理的指导。

参考文献

- [1] Chen C, Pipoly J J. Myrsinaceae//Wu Z Y, Raven P H. Flora of China, Vol. 15. Beijing: Science Press & St. Louis: Missouri Botanical Garden Press, 1996: 1-38
- [2] 艾金祥,宋嘉怡,严浙楠,王志超,陈文倩,吴玉环,王燕燕,潘蕾蕾,许俞韬,刘鹏.褪黑素对铅胁迫下虎舌红和朱砂根生理响应及DNA损伤的调控效应.植物学报,2022,57(2): 171-181
Ai J X, Song J Y, Yan Z N, Wang Z C, Chen W Q, Wu Y H, Wang Y Y, Pan L L, Xu Y T, Liu P. Effects of exogenous melatonin on physiological response and DNA damage of *Ardisia mamillata* and *A. crenata* under lead stress. Chinese Bulletin of Botany, 2022, 57(2): 171-181
- [3] 马洪娜,吴依琳,马珊珊,檀龙颜,周英.朱砂根叶响应Ca²⁺胁迫的差异化代谢物分析.植物生理学报,2023,59(9): 1771-1782
Ma H N, Wu Y L, Ma S S, Tan L Y, Zhou Y. Analysis of differential metabolites in *Ardisia crenata* leaves in response to Ca²⁺ stress. Plant Physiology Journal, 2023, 59(9): 1771-1782
- [4] Ai X M, Li Y, Xie H, Zhao C B. Adaptive mechanisms of *Ardisia crenata* var. *bicolor* along an elevational gradient on Gaoligong Mountain, Southwest China. Journal of Mountain Science, 2023, 20(3): 765-778
- [5] 周琪,吕享,林冰,田小桥,钟双萍,李佩仪.朱砂根种胚繁育技术研究.种子,2022,41(8): 104-109,115
Zhou Q, Lyu X, Lin B, Tian X Q, Zhong S P, Li P Y. Study on breeding regulation technology of *Ardisia crenata* Sims embryo. Seed, 2022, 41(8): 104-109,115
- [6] 张森行,严明基,张盛钟,刘行发,林庆华.3种植物生长剂对朱砂根种子的出苗及幼苗生长的影响.现代园艺,2023,46(5): 22-23,27
Zhang S H, Yan M J, Zhang S Z, Liu X F, Lin Q H. Effects of three plant growth agents on seedling emergence and seedling growth of *Ardisia crenata*. Contemporary Horticulture, 2023, 46(5): 22-23,27
- [7] 赵财宝,陈苗苗,张光锰,艾星梅.不同处理方式对黄果朱砂根顽拗性种子萌发的影响.浙江农业科学,2023,64(8): 1931-1934
Zhao C B, Chen M M, Zhang G M, Ai X M. Effects of different treatments on the germination of recalcitrant seeds of *Ardisia crenata* f. *xanthocarpa*. Journal of Zhejiang Agricultural Sciences, 2023, 64(8): 1931-1934
- [8] 李晓,石慧,丁晶鑫,俸婷婷,刘雄伟,刘畅,周英.不同基原八爪金龙药材中黄酮、香豆素类化学成分分析.中国药房,2021,32(4): 443-452
Li X, Shi H, Ding J X, Xian T T, Liu X W, Liu C, Zhou Y. Analysis of chemical constituents as flavonoids and coumarins in *Radix Ardisiae* from different sources. China Pharmacy, 2021, 32(4): 443-452

- 2021, 32 (4): 443-452
- [9] 权伟,刘畅,周英,何倩倩,石洋,党兆岩,刘雄利. 基于NF- κ B/STAT 信号通路探究朱砂根治疗大鼠急性咽炎的作用机制. 中草药, 2022, 53 (19): 6083-6092
- Quan W, Liu C, Zhou Y, He Q Q, Shi Y, Dang Z Y, Liu X L. Mechanism of *Ardisia crenata* on rats with acute pharyngitis based on NF- κ B/STAT signaling pathway. Chinese Traditional and Herbal Drugs, 2022, 53 (19): 6083-6092
- [10] Tao H H, Zhou Y Q, Wei X, Yin X, Zhao C L, Zhou Y. Anti-inflammatory activity of a new lactone isolated from the leaves of *Ardisia crenata* Sims. Chemistry Biodiversity, 2024, 21 (1): e202300983
- [11] 石慧,李晓,周英,丁晶鑫,刘畅,刘雄伟,董秀,陈贇,俸婷婷. 基于UPLC-QE-HF-MS/MS技术分析红凉伞化学成分及入血成分. 中国药房, 2024, 35(3): 316-321
- Shi H, Li X, Zhou Y, Ding J X, Liu C, Liu X W, Dong X, Chen Y, Xian T T. Analysis of chemical constituents and components absorbed into plasma of *Ardisia crenata* based on UPLC-QE-HF-MS/MS. China Pharmacy, 2024, 35 (3): 316-321
- [12] 江香梅,温强,叶金山,江梅. 朱砂根群体遗传多样性 RAPD 分析. 江西农业大学学报, 2006, 28(5): 762-765, 779
- Jiang X M, Wen Q, Ye J S, Jiang M. RAPD analysis of genetic diversity in *Ardisia crenata* Sims. Acta Agriculturae Universitatis Jiangxiensis, 2006, 28(5): 762-765, 779
- [13] 邓素芳,杨昉,赖钟雄. 朱砂根品种资源的RAPD分析. 中国农学通报, 2009, 25(10): 63-67
- Deng S F, Yang Y, Lai Z X. Analyses of germplasm by RAPD in *Ardisia crenata* Sims. Chinese Agricultural Science Bulletin, 2009, 25(10): 63-67
- [14] 杨昉,赖钟雄. 福建鼓山 23 份朱砂根种质资源的RAPD分析. 福建农业学报, 2010, 25(1): 53-57
- Yang Y, Lai Z X. RAPD analysis on 23 accessions of wild *Ardisia crenata* Sims. germplasm from Mt. Gushan. Fujian Journal of Agricultural Sciences, 2010, 25(1): 53-57
- [15] 张丽梅,张应红,郭凤根,杨生超. 云南紫金牛属植物资源的调查与评价. 中国野生植物资源, 2013, 32(1): 59-61, 67
- Zhang L M, Zhang Y H, Guo F G, Yang S C. Investigation and evaluation of *Ardisia* resources in Yunnan. Chinese Wild Plant Resources, 2013, 32(1): 59-61, 67
- [16] 向春玲,冯志坚. 广东紫金牛科药用植物资源. 亚热带植物科学, 2002, 31(3): 52-55
- Xiang C L, Feng Z J. Medicinal plant resources of Myrsinaceae in Guangdong province. Subtropical Plant Science, 2002, 31 (3): 52-55
- [17] 陈京,徐攀,姚振生. 浙江紫金牛属药用植物资源. 江西中医药, 2012, 43(6): 58-61
- Chen J, Xu P, Yao Z S. Medicinal plant resources of *Ardisia* in Zhejiang. Jiangxi Journal of Traditional Chinese Medicine, 2012, 43(6): 58-61
- [18] 鲍海鸥,陈波菱,陈波红,罗克红,庄国梁. 江西紫金牛属植物资源状况和利用价值. 安徽农业科学, 2011, 39(14): 8474-8476, 8637
- Bao H O, Chen B L, Chen B H, Luo K H, Zhuang G L. Plant resources and utilization value of *Ardisia* in Jiangxi. Journal of Anhui Agricultural Sciences, 2011, 39(14): 8474-8476, 8637
- [19] 吴庆书,李东海,杨泽斌,杨小波. 海南紫金牛属植物资源及其在园林中应用的前景. 福建林业科技, 2007, 34(3): 176-180
- Wu Q S, Li D H, Yang Z B, Yang X B. Plant resources of *Ardisia* and their application in landscapes in Hainan island. Journal of Fujian Forestry Science and Technology, 2007, 34 (3): 176-180
- [20] 田振华,骆红梅,何燕. 贵州紫金牛属药用植物资源概况. 中药材, 1996, 19(3): 116-118
- Tian Z H, Luo H M, He Y. Overview of medicinal plant resources of *Ardisia* in Guizhou. Journal of Chinese Medicinal Materials, 1996, 19(3): 116-118
- [21] 毛世忠,邓涛,唐文秀,骆文华,丁莉,隗红燕. 广西紫金牛属野生观赏植物的综合评价. 广西植物, 2012, 32(4): 501-506
- Mao S Z, Deng T, Tang W X, Luo W H, Ding L, Kui H Y. Comprehensive evaluation of the wild ornamental plants of *Ardisia* in Guangxi. Guihaia, 2012, 32 (4): 501-506
- [22] 骆亮,张文春,李龙,陈斌,彭东辉. 不同居群朱砂根(*Ardisia crenata*)的荧光ISSR遗传多样性分析. 分子植物育种, 2021, 19(18): 6235-6247
- Luo L, Zhang W C, Li L, Chen B, Peng D H. Genetic diversity analysis of *Ardisia crenata* in different populations by fluorescence ISSR. Molecular Plant Breeding, 2021, 19(18): 6235-6247
- [23] 陶萌春. 朱砂根(*Ardisia crenata*)居群的形态特征变异及聚类分析. 植物资源与环境学报, 2010, 19(4): 43-49
- Tao M C. Variation of morphological characters and cluster analysis of *Ardisia crenata* populations. Journal of Plant Resources and Environment, 2010, 19(4): 43-49
- [24] 康阳,刘梓富,陈进燎,石晓玲,周育真,彭东辉. 十六份朱砂根品种表型遗传多样性分析. 北方园艺, 2022(12): 71-78
- Kang Y, Liu Z F, Chen J L, Shi X L, Zhou Y Z, Peng D H. Analysis of phenotypic genetic diversity of 16 *Ardisia crenata* cultivars. Northern Horticulture, 2022(12): 71-78
- [25] 郎云虎,文琴琴,魏升华,严福林. 基于ITS和matK序列的苗药朱砂根遗传多样性分析. 种子, 2024, 43(1): 29-35, 42, 157
- Lang Y H, Wen Q Q, Wei S H, Yan F L. Genetic diversity analysis of the Miao medicine *Ardisia crenata* based on ITS and matK sequences. Seed, 2024, 43 (1): 29-35, 42, 157
- [26] 骆亮. 福建省不同居群朱砂根遗传多样性研究. 福州: 福建农林大学, 2019
- Luo L. Genetic diversity of different populations of *Ardisia crenata* in Fujian province. Fuzhou: Fujian Agriculture and Forestry University, 2019
- [27] 刘学森,李娜,张雪云,肖丽,江律,罗乐,于超,张启翔. 新疆单叶蔷薇居群表型变异及多样性研究. 北京林业大学学报,

- 2024,46(2):51-61
Liu X S, Li N, Zhang X Y, Xiao L, Jiang L, Luo L, Yu C, Zhang Q X. Phenotypic variation and diversity of natural *Rosa persica* populations in Xinjiang of northwestern China. *Journal of Beijing Forestry University*, 2024,46(2):51-61
- [28] 王钦,黄捷,涂松,康阳,王菲,陈秀铭,彭东辉. 蝴蝶兰不同品种表型性状遗传多样性分析. *西南林业大学学报:自然科学*, 2023,43(6):8-18
Wang Q, Huang J, Tu S, Kang Y, Wang F, Chen X M, Peng D H. Analysis of phenotypic genetic diversity of various *Phalaenopsis* varieties. *Journal of Southwest Forestry University: Natural Sciences*, 2023,43(6):8-18
- [29] Xin Y, Wu Y, Qiao B, Su L, Xie S, Ling P. Evaluation on the phenotypic diversity of Calamansi (*Citrus microcarpa*) germplasm in Hainan island. *Scientific Reports*, 2022, 12(1): 371-382
- [30] 李伟,王攀,其其格,张启昌,黄兵军,肖泽军. 蓝莓种质资源表型多样性研究. *北京林业大学学报*,2020,42(2):124-134
Li W, Wang P, Qi Q G, Zhang Q C, Huang B J, Xiao Z J. Phenotypic diversity analysis of blueberry germplasm resources. *Journal of Beijing Forestry University*, 2020, 42(2):124-134
- [31] 王业社,侯伯鑫,索志立,刘桃花,陈立军,杨贤均. 紫薇品种表型多样性分析. *植物遗传资源学报*,2015,16(1):71-79
Wang Y S, Hou B X, Suo Z L, Liu T H, Chen L J, Yang X J. Phenotypic diversity of *Lagerstroemia indica* cultivars. *Journal of Plant Genetic Resources*, 2015,16(1):71-79
- [32] 苏群,杨亚涵,田敏,张进忠,毛立彦,唐毓玮,卜朝阳,卢家仕. 49份睡莲资源表型多样性分析及综合评价. *西南农业学报*,2019,32(11):2670-2681
Su Q, Yang Y H, Tian M, Zhang J Z, Mao L Y, Tang Y W, Bu C Y, Lu J S. Phenotypic diversity analysis and comprehensive evaluation of 49 waterlily resources. *Southwest China Journal of Agricultural Sciences*, 2019, 32(11): 2670-2681
- [33] 杨思霞,黄旭光,陆炎松,黄爱玲,黄宇寒,霍行,廖堂贵. 39份朱槿品种资源表型多样性分析. *热带作物学报*,2024,45(4):722-733
Yang S X, Huang X G, Lu Y S, Huang A L, Huang Y H, Huo X, Liao T G. Phenotypic diversity analysis of 39 *Hibiscus rosa-sinensis* cultivar resources. *Chinese Journal of Tropical Crops*, 2024,45(4):722-733
- [34] 王志强,郭松,刘声锋,郭守金,于蓉,田梅,董瑞. 西瓜种质资源果实主要数量性状的主成分分析. *东北农业大学学报*, 2014,45(3):59-64
Wang Z Q, Guo S, Liu S F, Guo S J, Yu R, Tian M, Dong R. Principal component analysis for main quantitative characters on fruit of watermelon germplasm. *Journal of Northeast Agricultural University*, 2014,45(3):59-64
- [35] 李赢,刘海翠,石晓旭,石吕,韩笑,刘建,魏亚凤. 398份裸大麦种质资源表型性状遗传多样性分析. *植物遗传资源学报*, 2023,24(5):1311-1320
Li Y, Liu H C, Shi X X, Shi L, Han X, Liu J, Wei Y F. Phenotypic diversity analysis of 398 naked barley germplasm resources. *Journal of Plant Genetic Resources*, 2023, 24(5): 1311-1320
- [36] 刘杰,黄学辉. 作物杂种优势研究现状与展望. *中国科学:生命科学*,2021,51(10):1396-1404
Liu J, Huang X H. Advances and perspectives in crop heterosis. *Scientia Sinica(Vitae)*, 2021,51(10):1396-1404
- [37] 刘青青,李雄杰,马亚琼,成美佳,王晨兆,高佩,马福林,郝静雯,刘瑞,冶贵生,马玉花. 青海野生中国沙棘资源表型性状多样性分析. *植物遗传资源学报*,2023,24(4):1057-1064
Liu Q Q, Li X J, Ma Y Q, Cheng M J, Wang C Z, Gao P, Ma F L, Hao J W, Liu R, Ye G S, Ma Y H. Phenotypic traits diversity analysis of *Hippophae rhamnoides* subsp. *sinensis* wild germplasm in Qinghai province. *Journal of Plant Genetic Resources*, 2023,24(4):1057-1064